



## Apéndice B. Modelaciones polinomiales del crecimiento de levadura *Candida utilis* en medio líquido

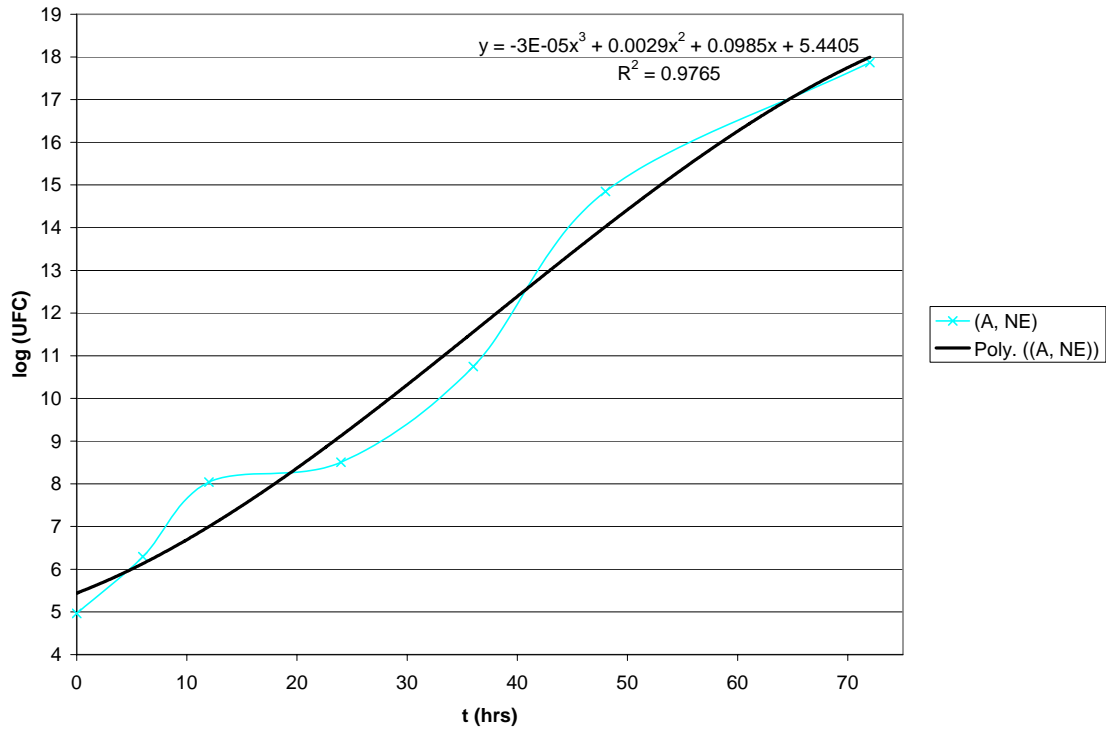


Figura 42. Regresión polinomial de la curva de crecimiento microbiano en medio líquido (A)

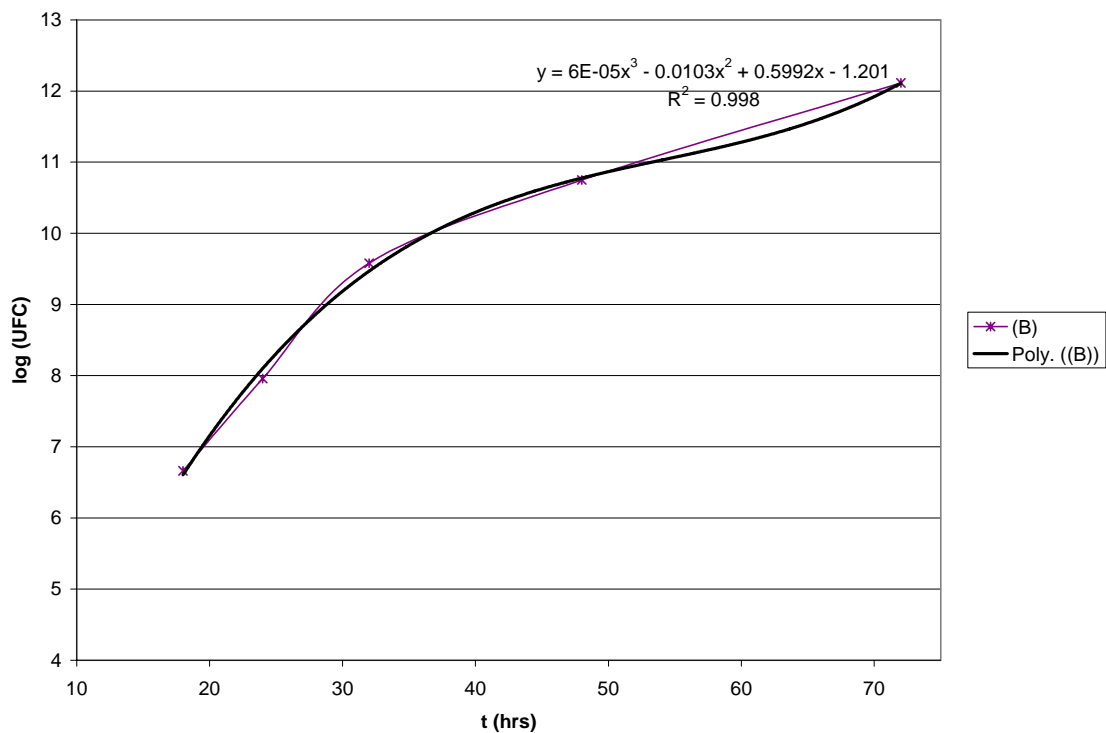


Figura 43. Regresión polinomial de la curva de crecimiento microbiano en medio líquido (B)

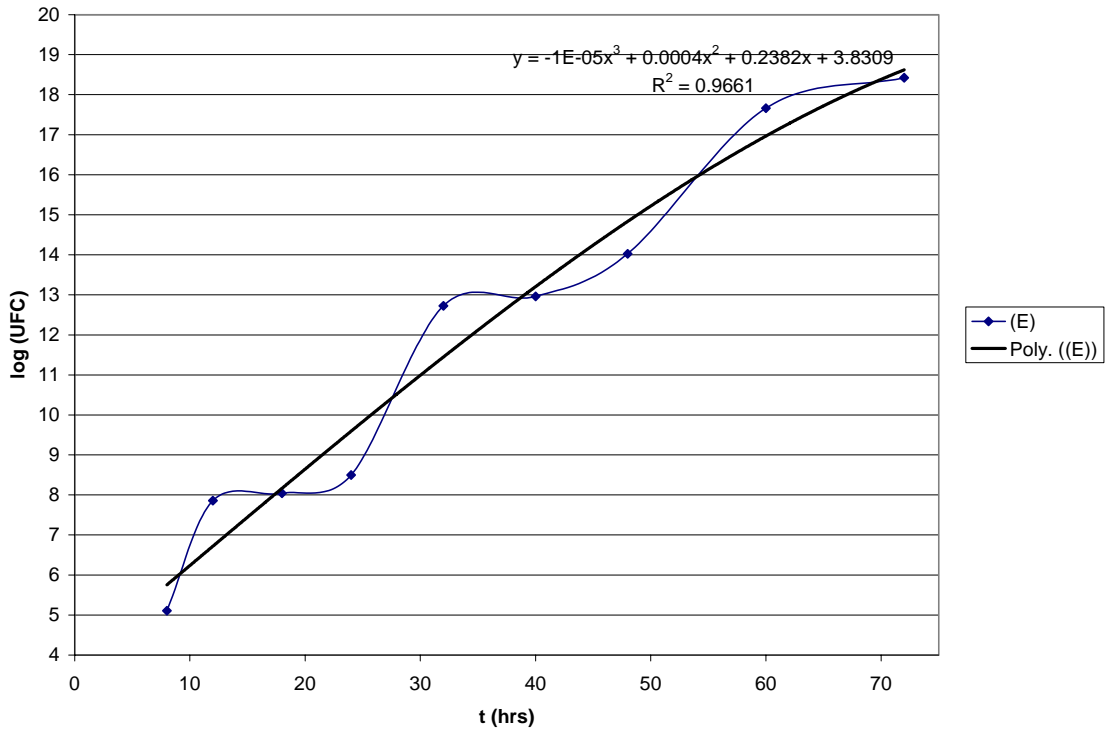


Figura 44. Regresión polinomial de la curva de crecimiento microbiano en medio líquido (E)

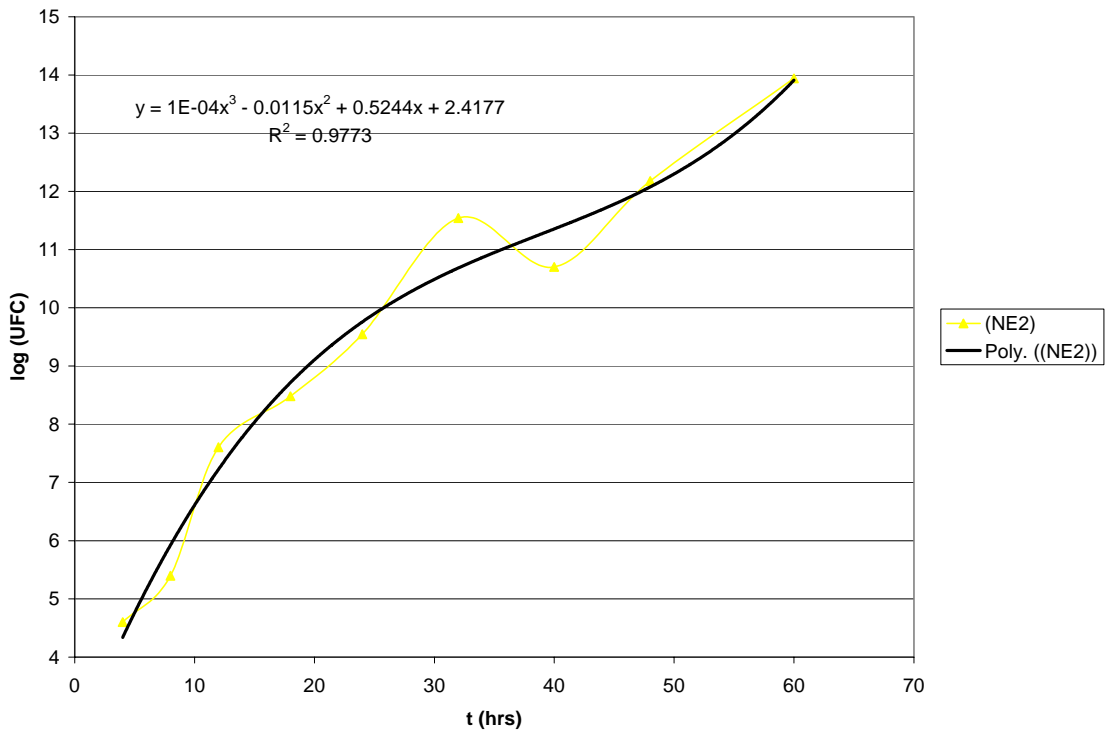


Figura 45. Regresión polinomial de la curva de crecimiento microbiano en medio líquido (NE2)

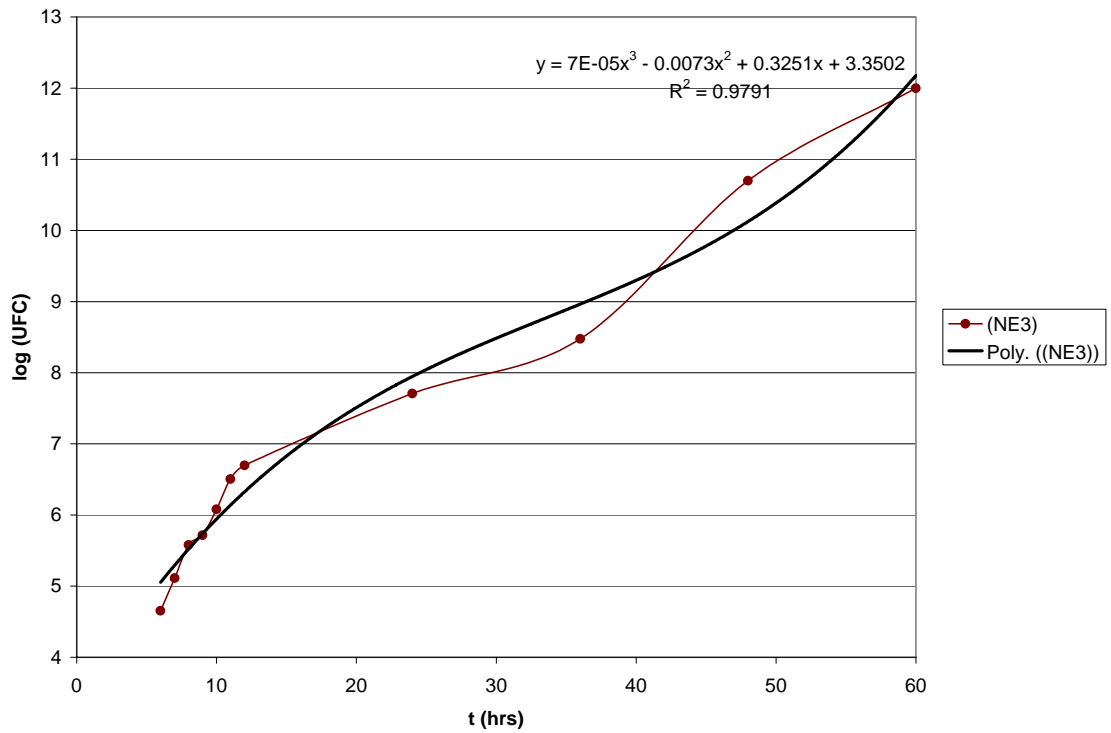


Figura 46. Regresión polinomial de la curva de crecimiento microbiano en medio líquido (NE3)

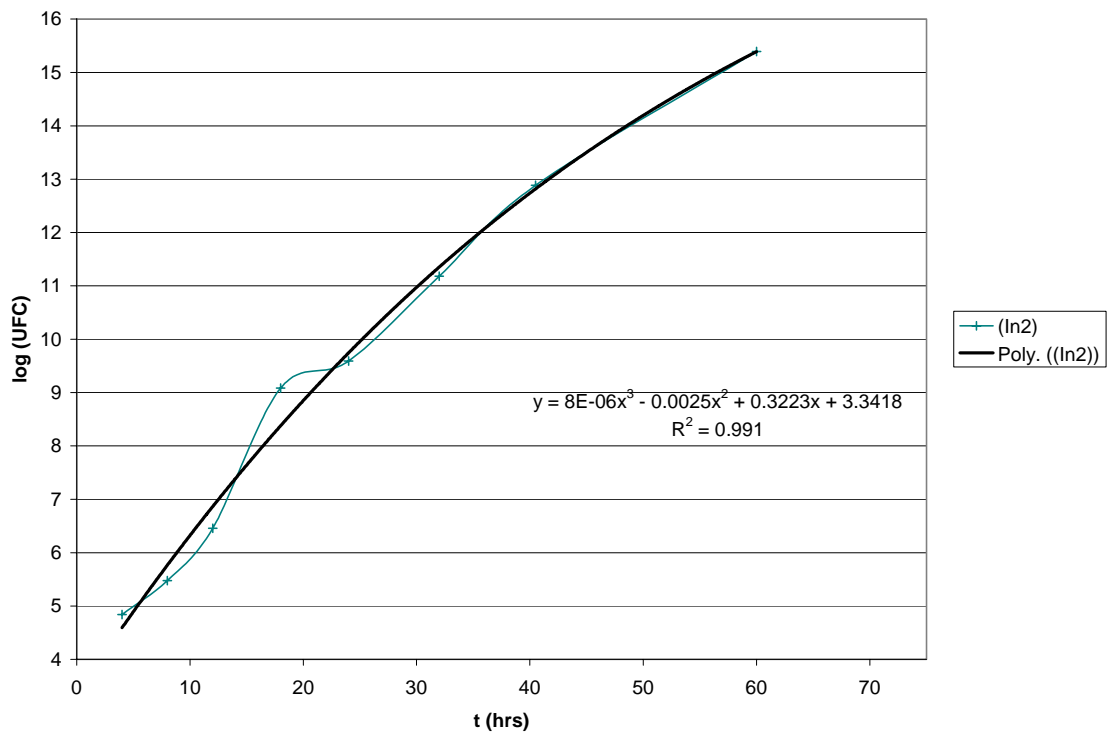


Figura 47. Regresión polinomial de la curva de crecimiento microbiano en medio líquido (In 2)

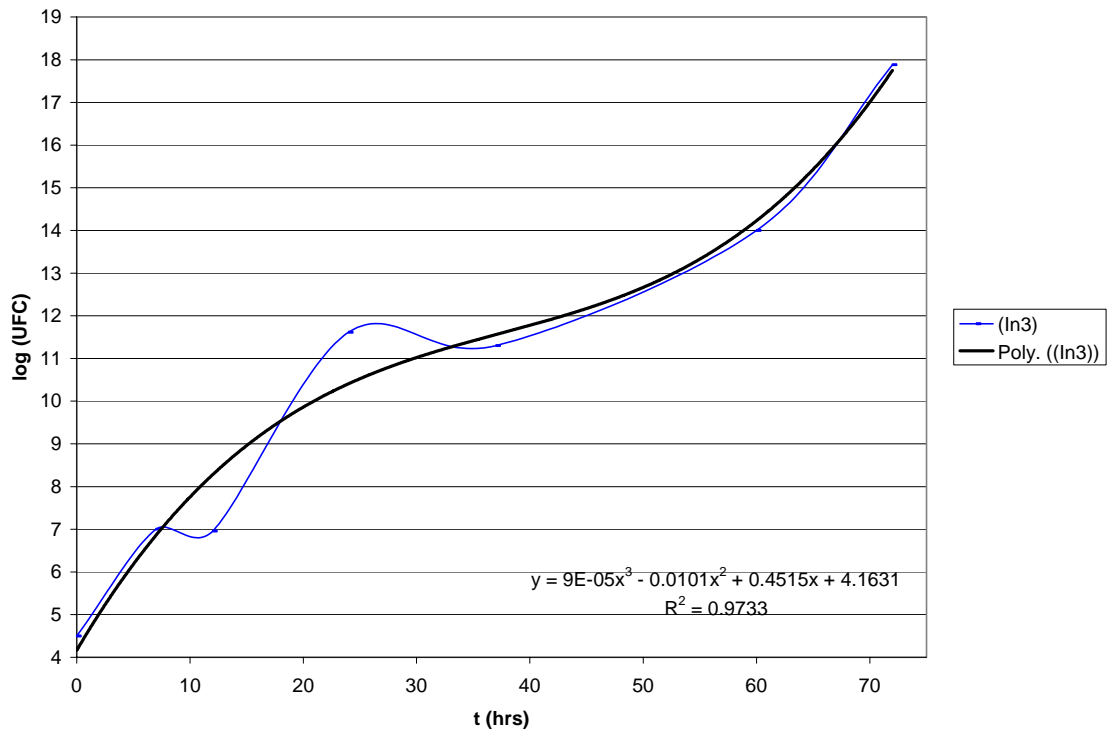


Figura 48. Regresión polinomial de la curva de crecimiento microbiano en medio líquido (ln 3)